

1. 緒言

本文は、現在までに得られた約500個の岩石試験の結果を整理し、その物理的及び力学的性質間の相関性に検討を加えたものである。

一般に、これらの中のいくつには高い相関性を示すものが知られていて、一方で、これらの相関性の高いものばかりではなく、比較的その低いものにも意義のあることを述べ、考察を加えらるものである。

2. 相関係数に及ぼす内的要因

岩石の物性に関する3つの変量 X_1, X_2, X_3 の多數の組が得られたとする。これらを X_1 と X_2 座標上にプロットすると、例えば図-1のような椭円体として示される。このような場合、一般に相関の高い X_1 との関係について議論されれば、相関の低い X_2, X_3 については注目されない。しかし、 X_2 及び X_3 間の相関係数が小さくとも、 X_2 及び X_3 に対する変動が同程度であれば、 X_1 には強い相関が現われると考えられる。すなわち、変量 X_2 が X_1 に見かけの相関を与える要因となり、 X_2 は X_1 に対する一種の媒介変量と考えられる。

3. 相関係数の計算結果

3.1 試験項目；試験を行なった項目は、一つの岩石試験片につき表-1に示す12項目である。相関係数はこれら12項目をすべて組合せて、66通りの計算を行なった。試験個数は、火成岩101個、堆積岩377個であり、12項目の試験すべてを行なったものに限定した。

3.2 相関係数；得られた66個の相関係数を表-2に示す。元来、密度や含水率等の6項目の物理試験の間には高い相関が予想されようが、表-2に示すように上位は火成岩、堆積岩ともにこれらが占めている。これら以外で比較的相関が高いとされる0.7以上のものには、両者に共通するものとして、一軸圧縮強度 σ_c とP波速度 V_p 及びP波速度 V_p とS波速度 V_s である。相関の有無がしばしば議論される一軸圧縮強度 σ_c と静弾性係数 E との相関は、本報告では堆積岩(0.756)では高く、火成岩(0.256)では低い結果を示している。一方、ポアソン比 ν は、他のどの物性値とも強い相関を示さないことが特徴的である。

4. 考察

ここで、第2節で述べたような観点から、比較的相関の高い物性値間に内在すると思われる第三の媒介変量について検討を加える。例えば、火成岩、堆積岩ともに高い相関を示す $\sigma_c \cdot V_p$ について、まず σ_c と V_p 以外の10項目の変量との相関を求める。同様にして、 V_p と σ_c 以外のそれらとの相関係数を求め、これらの相関係数の中で、その値が等しく、かつ同一変量を互いに共通する組合せがあれば、その共通する変量が媒介変量と考えられる。

このようにして検討した結果を表-3にまとめて示す。同表には火成岩と堆積岩を比較して示してある。

表-3より、一軸圧縮強度 σ_c とP波速度 V_p は火成岩、堆積岩ともに高い相関を示すが、この両変量(σ_c, V_p)の間において、密度 ρ が σ_c 及び V_p に対して同程度の変動を示す。また、静弾性係数 E も同様である。しかし、媒介変量としての ρ, E の σ_c 及び V_p に

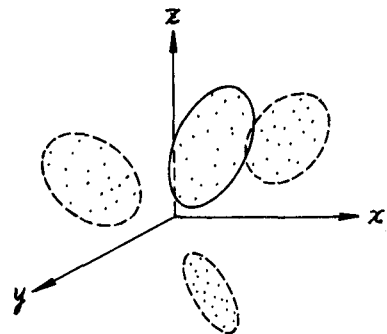


図-1 三次元における分布図と相関

測定項目	湿潤密度	自然密度	乾燥密度	吸水率	含水率	有効骨材率
単位	g/cm^3	g/cm^3	g/cm^3	%	%	%
記号	ρ_w	ρ_n	ρ_d	S_1	S_2	S_3
測定項目	一軸圧縮強度	圧縮引張強度	P波速度	S波速度	静弾性係数	ポアソン比
単位	kg/cm^2	kg/cm^2	m/sec	m/sec	kg/cm^2	—
記号	σ_c	σ_t	V_p	V_s	E	ν

表-1 岩石試験項目一覧表と記号

火成岩		堆積岩	
相関变量	相関係数	相関变量	相関係数
$\sigma_c \cdot V_p$	r=0.717	$\sigma_c \cdot V_p$	r=0.722
变量 r	变量 r	变量 r	变量 r
$\sigma_c \cdot E$	0.256	$E \cdot V_p$	0.227
$\sigma_c \cdot P_n$	0.553	$E \cdot V_p$	0.276
$\sigma_c \cdot P_n$	0.553	$P_n \cdot V_p$	0.510
$E \cdot V_p$	r=0.227	$E \cdot V_p$	r=0.705
变量 r	变量 r	变量 r	变量 r
$E \cdot P_n$	0.258	$P_n \cdot V_p$	0.482
$E \cdot P_n$	0.258	$E \cdot P_n$	0.395
$P_n \cdot V_p$	0.510	$P_n \cdot V_p$	0.319
$\sigma_c \cdot E$	r=0.256	$\sigma_c \cdot E$	r=0.756
变量 r	变量 r	变量 r	变量 r
$\sigma_c \cdot P_n$	0.550	$P_n \cdot E$	0.258
$\sigma_c \cdot S_3$	-0.474	$P_n \cdot E$	0.207
$\sigma_c \cdot S_3$	-0.474	$\sigma_c \cdot S_3$	-0.341
$S_3 \cdot E$	-0.207	$S_3 \cdot E$	-0.384
$\sigma_c \cdot O_t$	r=0.656	$\sigma_c \cdot O_t$	r=0.708
变量 r	变量 r	变量 r	变量 r
$\sigma_c \cdot P_n$	0.387	$P_n \cdot O_t$	0.328
$\sigma_c \cdot P_n$	0.387	$P_n \cdot O_t$	0.545
$P_n \cdot O_t$	0.328	$P_n \cdot O_t$	0.485

表-3 各相間における媒介变量

及ぼす相間の強さは岩種によりて異なり、火成岩では P が、堆積岩では E の影響が大きいことわかる。同様にして、静ヤング率 E と P 波速度 V_p との相間では、堆積岩では密度 P が媒介变量であるとみられるに対し、火成岩ではこれに相当するものがなく、その結果として火成岩の $E \cdot V_p$ 間の相間は極めて低くないことが考えられる。さらに、一軸圧縮強度 σ_c と E との相間では堆積岩において密度 P と有効間隙率 S_3 (あるいは吸水率 S_1) の両者が媒介变量とみられるが、火成岩では明瞭なものはなく $\sigma_c \cdot E$ の相間も低いことがわかる。一方、一軸圧縮強度 σ_c と延裂引張強度 O_t の間の相関係数はともに 0.7 前後で相当強い相間がみられるが、これらの媒介变量とみられるものは、火成岩、堆積岩とともに密度 P である。

5.まとめ

本報告では各物性値間の散分図には触れなかったが、相間の高いものには片対数あるいは両対数において直線とみられるものがあつた。元来、相間は両者の因果関係を示すものではないとされ、また相関係数の大きさいものだけが注目される傾向にあるが、相関係数は小さいが互いに等しい値を示す媒介变量的物性値に注目し、相間の内的要因を実験値から検討を加えた。その結果は火成岩、堆積岩とともに密度が各物性値の相間に寄与していることが明らかとなった。また、堆積岩に比べて火成岩に相間の高いものが少ないので、これは火成岩の密度の分布範囲が小さいことが一つの理由であると考えられる。

火成岩		堆積岩		全岩石	
物性値	相関係数	物性値	相関係数	物性値	相関係数
1 $P_w \cdot P_d$	0.966	1 $P_w \cdot P_d$	0.992	1 $P_w \cdot P_d$	0.980
2 $P_w \cdot P_n$	0.964	2 $S_1 \cdot S_3$	0.991	2 $P_w \cdot P_n$	0.985
3 $S_1 \cdot S_3$	0.946	3 $P_n \cdot P_d$	0.989	3 $P_n \cdot P_d$	0.971
4 $P_n \cdot P_d$	0.929	4 $P_n \cdot P_d$	0.981	4 $S_1 \cdot S_3$	0.951
5 $P_d \cdot S_1$	-0.915	5 $P_d \cdot S_3$	-0.945	5 $P_d \cdot S_3$	-0.950
6 $P_d \cdot S_3$	-0.900	6 $P_n \cdot S_3$	-0.936	6 $S_1 \cdot S_3$	0.930
7 $S_2 \cdot S_3$	0.885	7 $P_n \cdot S_1$	-0.935	7 $P_n \cdot S_1$	-0.914
8 $V_p \cdot V_d$	0.883	8 $P_n \cdot S_1$	-0.930	8 $P_n \cdot S_1$	-0.902
9 $P_w \cdot S_1$	0.839	9 $P_n \cdot S_3$	-0.898	9 $V_p \cdot V_d$	0.901
10 $S_1 \cdot S_3$	0.823	10 $P_n \cdot S_1$	-0.889	10 $S_1 \cdot S_3$	0.883
11 $P_w \cdot S_3$	-0.799	11 $P_d \cdot S_2$	-0.822	11 $P_n \cdot S_3$	-0.881
12 $P_n \cdot S_2$	-0.796	12 $P_w \cdot S_2$	-0.817	12 $P_d \cdot S_2$	-0.870
13 $P_n \cdot S_2$	-0.767	13 $S_1 \cdot S_2$	0.768	13 $P_n \cdot O_t$	0.870
14 $O_t \cdot E$	0.756	14 $S_1 \cdot S_2$	0.747	14 $P_n \cdot S_1$	-0.868
15 $P_n \cdot S_2$	-0.745	15 $P_n \cdot S_2$	-0.730	15 $P_n \cdot S_1$	-0.853
16 $O_t \cdot V_p$	0.717	16 $O_t \cdot V_p$	0.722	16 $P_n \cdot V_p$	0.826
17 $O_t \cdot V_p$	0.711	17 $V_p \cdot V_d$	0.705	17 $P_n \cdot S_2$	-0.873
18 $O_t \cdot O_t$	0.708	18 $V_p \cdot V_d$	0.696	18 $O_t \cdot V_p$	0.813
19 $V_p \cdot E$	0.705	19 $O_t \cdot O_t$	0.656	19 $O_t \cdot V_p$	0.795
20 $O_t \cdot V_p$	0.682	20 $P_n \cdot O_t$	0.553	20 $O_t \cdot V_p$	0.764
21 $O_t \cdot V_p$	0.672	21 $P_n \cdot O_t$	0.550	21 $P_n \cdot O_t$	0.748
22 $V_p \cdot E$	0.659	22 $P_n \cdot O_t$	0.545	22 $P_n \cdot O_t$	0.739
23 $P_n \cdot S_4$	-0.650	23 $P_n \cdot V_p$	0.510	23 $P_n \cdot S_2$	-0.737
24 $O_t \cdot E$	0.576	24 $O_t \cdot V_p$	0.503	24 $P_n \cdot O_t$	0.736
25 $P_n \cdot S_2$	-0.496	25 $P_n \cdot V_p$	0.485	25 $O_t \cdot E$	0.713
26 $P_n \cdot E$	0.419	26 $P_n \cdot V_p$	0.482	26 $S_1 \cdot O_t$	-0.681
27 $P_n \cdot E$	0.413	27 $S_1 \cdot O_t$	-0.474	27 $P_n \cdot V_p$	0.678
28 $P_n \cdot E$	0.395	28 $S_1 \cdot O_t$	-0.459	28 $P_n \cdot V_p$	0.677
29 $P_n \cdot O_t$	0.387	29 $O_t \cdot V_p$	0.451	29 $P_n \cdot V_p$	0.676
30 $P_n \cdot O_t$	0.384	30 $P_n \cdot V_p$	0.449	30 $V_p \cdot E$	0.676
31 $P_n \cdot O_t$	0.384	31 $S_2 \cdot O_t$	-0.412	31 $P_n \cdot O_t$	0.674
32 $S_2 \cdot E$	-0.384	32 $P_n \cdot V_p$	0.407	32 $V_p \cdot E$	0.672
33 $S_2 \cdot E$	-0.352	33 $S_2 \cdot V_p$	0.403	33 $P_n \cdot O_t$	0.670
34 $S_2 \cdot O_t$	-0.341	34 $P_n \cdot O_t$	0.401	34 $P_n \cdot V_p$	0.670
35 $P_n \cdot V_p$	0.328	35 $P_n \cdot O_t$	0.395	35 $P_n \cdot V_p$	0.670
36 $P_n \cdot O_t$	0.321	36 $P_n \cdot O_t$	0.387	36 $P_n \cdot V_p$	0.667
37 $P_n \cdot V_p$	0.319	37 $S_2 \cdot V_p$	-0.384	37 $P_n \cdot O_t$	0.660
38 $S_2 \cdot E$	-0.312	38 $S_2 \cdot V_p$	-0.370	38 $P_n \cdot E$	0.652
39 $P_n \cdot V_p$	-0.304	39 $S_2 \cdot V_p$	-0.364	39 $P_n \cdot E$	0.645
40 $S_1 \cdot O_t$	-0.302	40 $S_2 \cdot E$	-0.337	40 $P_n \cdot E$	0.640
41 $P_n \cdot V_p$	0.298	41 $S_2 \cdot V_p$	-0.333	41 $P_n \cdot E$	0.630
42 $P_n \cdot V_p$	0.293	42 $S_1 \cdot O_t$	-0.318	42 $S_1 \cdot V_p$	-0.619
43 $P_n \cdot V_p$	0.289	43 $S_1 \cdot O_t$	-0.316	43 $S_1 \cdot O_t$	-0.611
44 $P_n \cdot O_t$	0.274	44 $S_1 \cdot V_p$	-0.308	44 $S_1 \cdot V_p$	-0.611
45 $S_2 \cdot V_p$	-0.272	45 $P_n \cdot E$	0.285	45 $S_2 \cdot O_t$	-0.597
46 $S_2 \cdot V_p$	-0.263	46 $S_2 \cdot O_t$	-0.272	46 $S_2 \cdot E$	-0.597
47 $S_2 \cdot V_p$	-0.262	47 $S_2 \cdot E$	0.258	47 $S_2 \cdot E$	-0.560
48 $S_1 \cdot V_p$	-0.254	48 $O_t \cdot E$	0.256	48 $S_1 \cdot O_t$	-0.556
49 $O_t \cdot O_t$	0.241	49 $S_1 \cdot V_p$	-0.255	49 $S_1 \cdot V_p$	-0.538
50 $S_2 \cdot V_p$	-0.240	50 $S_1 \cdot V_p$	-0.252	50 $S_2 \cdot V_p$	-0.532
51 $S_1 \cdot O_t$	-0.160	51 $V_p \cdot E$	0.230	51 $S_2 \cdot V_p$	-0.529
52 $S_2 \cdot O_t$	-0.159	52 $V_p \cdot E$	0.227	52 $S_1 \cdot O_t$	-0.517
53 $T_d \cdot U$	0.159	53 $S_2 \cdot E$	-0.207	53 $S_1 \cdot V_p$	-0.513
54 $S_2 \cdot V_p$	-0.150	54 $S_1 \cdot E$	0.200	54 $S_1 \cdot E$	-0.501
55 $S_2 \cdot V_p$	-0.136	55 $O_t \cdot E$	0.168	55 $S_1 \cdot O_t$	-0.490
56 $S_2 \cdot U$	0.118	56 $S_1 \cdot U$	-0.128	56 $V_p \cdot U$	0.061
57 $S_1 \cdot U$	0.073	57 $S_1 \cdot U$	-0.094	57 $T_d \cdot U$	0.059
58 $V_p \cdot U$	0.073	58 $S_1 \cdot U$	-0.091	58 $V_p \cdot U$	0.048
59 $O_t \cdot U$	0.068	59 $E \cdot U$	-0.070	59 $S_1 \cdot U$	0.047
60 $V_p \cdot U$	0.068	60 $O_t \cdot U$	-0.053	60 $V_p \cdot U$	0.029
61 $S_3 \cdot U$	0.066	61 $V_p \cdot U$	-0.044	61 $S_3 \cdot U$	0.028
62 $E \cdot U$	0.051	62 $V_p \cdot U$	-0.022	62 $E \cdot U$	0.027
63 $P_n \cdot U$	-0.038	63 $P_n \cdot U$	0.020	63 $E \cdot U$	0.017
64 $P_n \cdot U$	-0.022	64 $P_n \cdot U$	-0.011	64 $P_n \cdot U$	0.013
65 $P_n \cdot U$	0.009	65 $P_n \cdot U$	-0.010	65 $S_3 \cdot U$	0.008
66 $S_2 \cdot O_t$	-0.004	66 $S_2 \cdot O_t$	-0.005	66 $P_n \cdot U$	0.007

表-2 相関係数の計算結果(火成岩101個、堆積岩377個)